

PA054: Formální modely v systémové biologii

David Šafránek

2.5.2012

Tento projekt je spolufinancován Evropským sociálním fondem a státním rozpočtem České republiky.



Obsah

Algebraický přístup k modelování biochemických reakcí

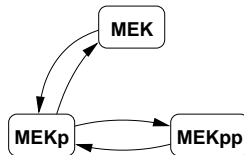
Princip modelování

Substráty – molekuly

- populace interagujících molekul
- každou molekulu (proteinu) lze popsat stavově
 - stav zachycuje konfiguraci vazebných míst
 - volná vazebná místa
 - vazebná místa obsazena jinou molekulou (dimerizující stavy)



- formalizace prostřednictvím sekvenčního procesu:



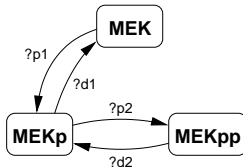
Princip modelování

Substráty – molekuly

- populace interagujících molekul
- každou molekulu (proteinu) lze popsat stavově
 - stav zachycuje konfiguraci vazebných míst
 - volná vazebná místa
 - vazebná místa obsazena jinou molekulou (dimerizující stavy)



- formalizace prostřednictvím sekvenčního procesu:



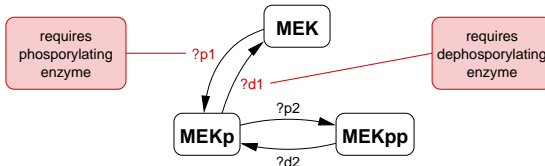
Princip modelování

Substráty – molekuly

- populace interagujících molekul
- každou molekulu (proteinu) lze popsat stavově
 - stav zachycuje konfiguraci vazebných míst
 - volná vazebná místa
 - vazebná místa obsazena jinou molekulou (dimerizující stavy)

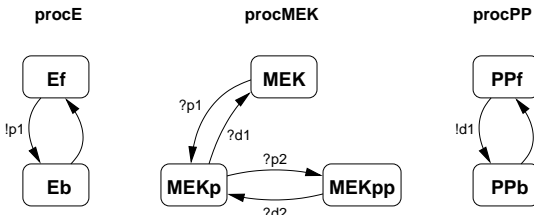


- formalizace prostřednictvím sekvenčního procesu:



Princip modelování

Interakce

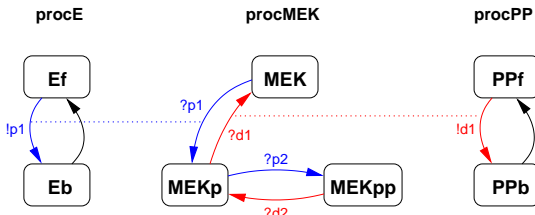


- paralelní chování procesů (molekul)
- binární synchronizace
- roztok lze modelovat jako populaci procesů:

$procMEK | procMEK | procE | procE | procE | procPP | procPP$

Princip modelování

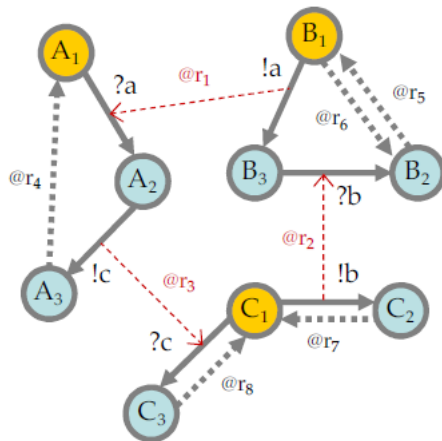
Interakce



- paralelní chování procesů (molekul)
- binární synchronizace
- roztok lze modelovat jako populaci procesů:

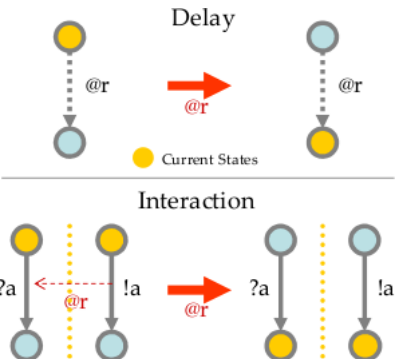
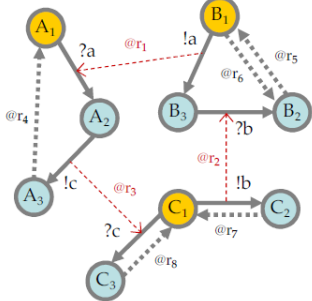
$procMEK | procMEK | procE | procE | procE | procPP | procPP$

Molekuly jako komunikující automaty

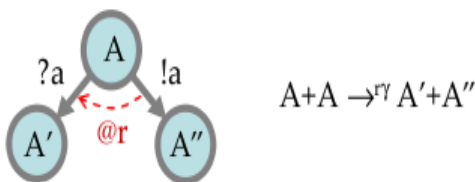
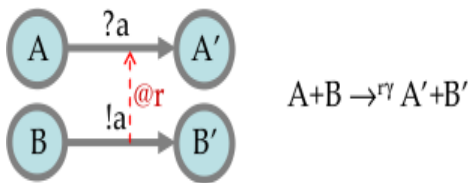
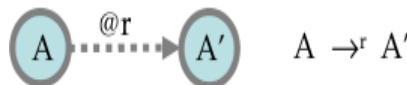


individuální přechody a synchronizace lze modelovat stochasticky
(provedení přechodu v čase $t \sim \text{Exp}(r_i)$)

Molekuly jako komunikující automaty



Elementární reakce jako komunikující automaty



Elementární kalkulus pro popis (bio)chemických systémů

Syntax

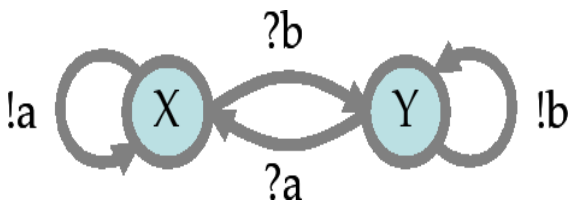
$E ::= 0 : X = M, E$	Reagents
$M ::= 0 : \pi; P \oplus M$	Molecule
$P ::= 0 : X \mid P$	Solution
$\pi ::= \tau_{(r)} : ?n_{(r)} : !n_{(r)}$	Interaction prefix
$CGF ::= E, P$	Chemical Ground Form

Příklad

$$X = !a_{(r)}; X \oplus ?b_{(s)}; Y$$

$$Y = !b_{(s)}; Y \oplus ?a_{(r)}; X$$

X | X | X | Y | Y



Elementární kalkulus pro popis (bio)chemických systémů

Sémantika

$$\begin{aligned}
 & \Rightarrow !x.P + M \xrightarrow{!x} P \\
 & \Rightarrow ?x.P + M \xrightarrow{?x} P \\
 & \Rightarrow \tau_r.P \xrightarrow{r} P \\
 P \xrightarrow{!x} P' \quad Q \xrightarrow{?x} Q' & \Rightarrow P|Q \xrightarrow{x} P'|Q' \\
 M \xrightarrow{\alpha} P' & \Rightarrow \pi.P + M \xrightarrow{\alpha} P' \\
 P \xrightarrow{\alpha} & \Rightarrow P|Q \xrightarrow{\alpha} P'|Q \\
 X = P \quad P \xrightarrow{\alpha} P' & \Rightarrow X \xrightarrow{\alpha} P'
 \end{aligned}$$

SOS pravidla definují fragment stochastického π -kalkulu

Rozšíření o předávání hodnot

Syntax

$E ::= 0 : X(p) = M, E$	Reagents
$M ::= 0 : \pi; P \oplus M$	Molecule
$P ::= 0 : X(p) \mid P$	Solution
$\pi ::= \tau_{(r)} : ?n(p) : !n(p)$	Interaction prefix
$CPF ::= E, P$	Chemical Parametric Form

Andrew Phillips, Luca Cardelli, and Giuseppe Castagna, A Graphical Representation for Biological Processes in the Stochastic Pi-calculus, in Transactions in Computational Systems Biology, vol. 4230, pp. 123–152, Springer, November 2006

Rozšíření o předávání hodnot

Sémantika

$$\begin{aligned}
 & \Rightarrow !x(n).P + M \xrightarrow{!x(n)} P \\
 & \Rightarrow ?x(m).P + M \xrightarrow{?x(m)} P_{\{n/m\}} \\
 & \Rightarrow \tau_r.P \xrightarrow{r} P \\
 P \xrightarrow{!x(n)} P' \quad Q \xrightarrow{?x(n)} Q' & \Rightarrow P|Q \xrightarrow{x} P'|Q' \\
 M \xrightarrow{\alpha} P' & \Rightarrow \pi.P + M \xrightarrow{\alpha} P' \\
 P \xrightarrow{\alpha} & \Rightarrow P|Q \xrightarrow{\alpha} P'|Q \\
 X(m) = P \quad P_{\{n/m\}} \xrightarrow{\alpha} P' \Rightarrow X(n) \xrightarrow{\alpha} P' &
 \end{aligned}$$

SOS pravidla definují fragment stochastického π -kalkulu

Příklad modelování genetické regulační sítě



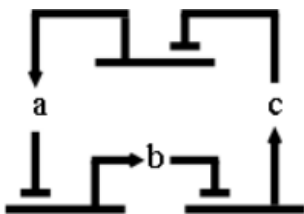
$$\text{Gene}(a, b) = \tau_t. (\text{Gene}(a, b) | \text{Protein}(b)) + ?a. \text{Blocked}(a, b)$$

$$\text{Blocked}(a, b) = \tau_u. \text{Gene}(a, b)$$

$$\text{Protein}(b) = !b. \text{Protein}(b) + \tau_d. 0$$

Ralf Blossey, Luca Cardelli, and Andrew Phillips, A Compositional Approach to the Stochastic Dynamics of Gene Networks, in Transactions in Computational Systems Biology, vol. 3939, no. 3939, pp. 99–122, Springer, January 2006

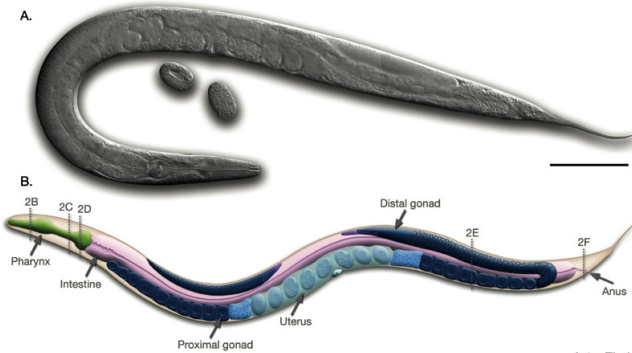
Příklad modelování genetické regulační sítě



$Gene(c, a) | Gene(a, b) | Gene(b, c)$

High-level modelování

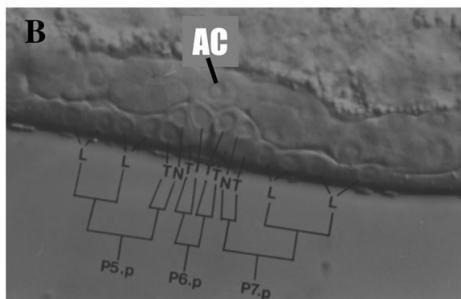
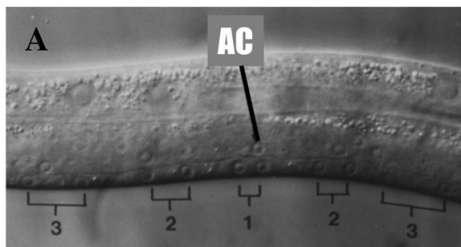
C. elegans

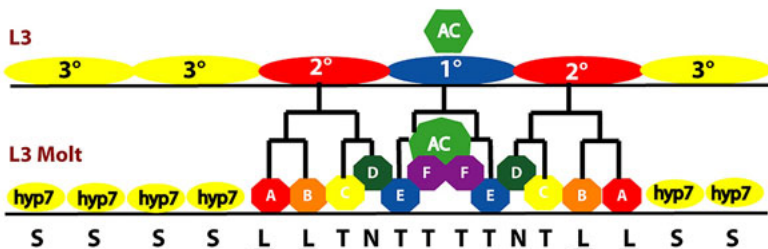
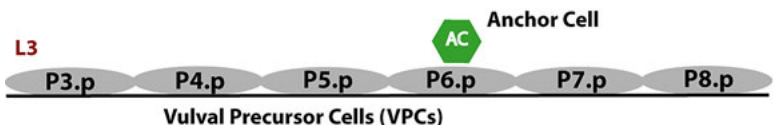


IntroFig1

High-level modelování

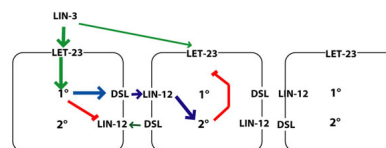
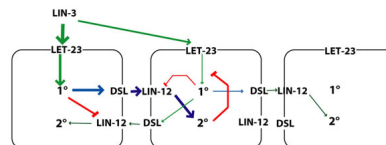
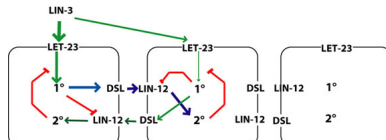
C. elegans: vývoj vulvy



*High-level modelování**C. elegans: vývoj vulvy*

High-level modelování

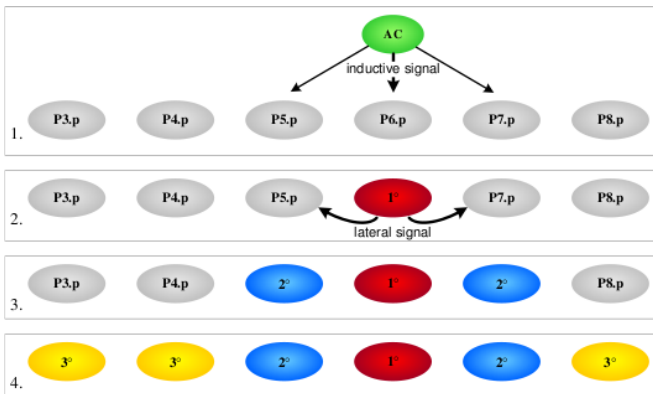
C. elegans: možné varianty signálních drah



LIN3 ... signál od řídící buňky (anchor cell, AC)
LIN12 ... laterální mezibuněčný signál

High-level modelování – interagující buňky

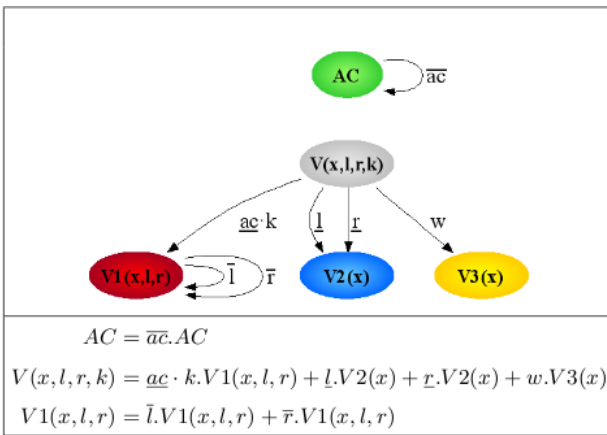
Vývoj vulvy C. elegans



Andrew Phillips, A Visual Process Calculus for Biology, in Symbolic Systems Biology: Theory and Methods, Jones and Bartlett Publishers, 2010.

High-level modelování – interagující buňky

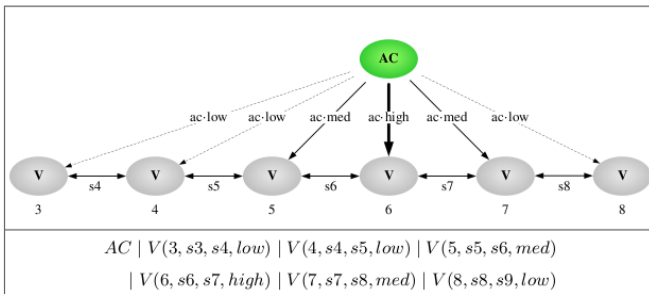
Vývoj vulvy *C. elegans*



x ... č. buňky, l, r ... kanály laterálního signálu,
 k ... vzdálenost od AC (frekvence interakce s AC)

High-level modelování – interagující buňky

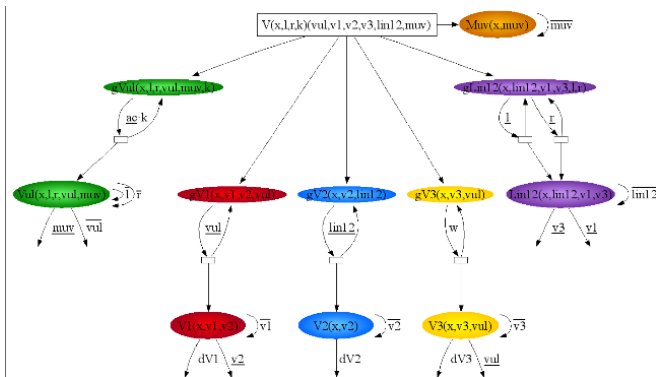
Vývoj vulvy *C. elegans*



Andrew Phillips, A Visual Process Calculus for Biology, in Symbolic Systems Biology: Theory and Methods, Jones and Bartlett Publishers, 2010.

High-level modelování – interagující buňky

Vývoj vulvy *C. elegans* – podrobný model



Andrew Phillips, A Visual Process Calculus for Biology, in Symbolic Systems Biology: Theory and Methods, Jones and Bartlett Publishers, 2010.

High-level modelování – interagující buňky

Vývoj vulvy C. elegans – podrobný model

$$V(x, l, r, k) = (vul, v1, v3, v3, lin12, muv)$$

$$(\text{ } gVul(x, l, r, vul, muv, k) \mid gLin12(x, lin12, v1, v3, l, r))$$

$$\mid gV1(x, v1, v2, vul) \mid gV2(x, v2, lin12) \mid gV3(x, v3, vul) \mid Muv(x, muv))$$

$$gVul(x, l, r, vul, muv, k) = \underline{ac} \cdot k. (gVul(x, l, r, vul, muv, k) \mid Vul(x, l, r, vul, muv))$$

$$\begin{aligned} gLin12(x, lin12, v1, v3, l, r) &= \underline{l}. (gLin12(x, lin12, v1, v3, l, r) \mid Lin12(x, lin12, v1, v3) \\ &\quad + \underline{r}. (gLin12(x, lin12, v1, v3, l, r) \mid Lin12(x, lin12, v1, v3))) \end{aligned}$$

$$gV1(x, v1, v2, vul) = \underline{vul}. (gV1(x, v1, v2, vul) \mid V1(x, v1, v2))$$

$$gV2(x, v2, lin12) = \underline{lin12}. (gV2(x, v2, lin12) \mid V2(x, v2))$$

$$gV3(x, v3, vul) = \underline{w}. (gV3(x, v3, vul) \mid V3(x, v3, vul))$$

$$Vul(x, l, r, vul, muv) = \bar{l}. Vul(x, l, r, vul, muv) + \bar{r}. Vul(x, l, r, vul, muv) + \bar{vul} + \underline{muv}$$

$$Lin12(x, lin12, v1, v3) = \bar{lin12}. Lin12(x, lin12, v1, v3) + \underline{v3} + \underline{v1}$$

$$Muv(x, muv) = \bar{muv}. Muv(x, muv)$$

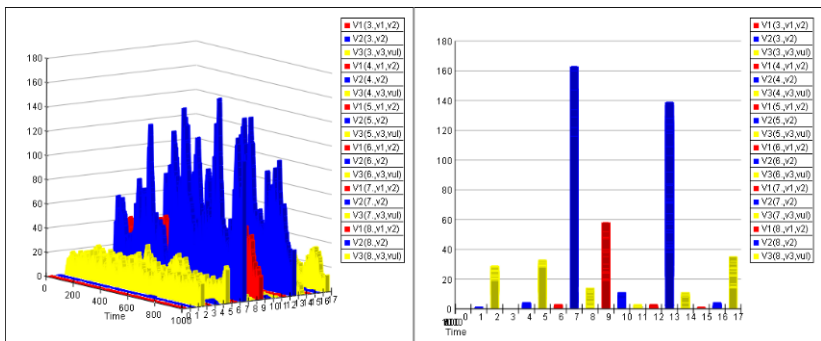
$$V1(x, v1, v2) = \bar{v1}. V1(x, v1, v2) + \underline{v2} + dV1$$

$$V2(x, v2) = \bar{v2}. V2(x, v2) + dV2$$

$$V3(x, v3, vul) = \bar{v3}. V3(x, v3, vul) + \underline{vul} + dV3$$

High-level modelování – simulace

Vývoj vulvy *C. elegans*

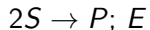


Kalkuly pro biologické systémy

- Stochastic π -calculus (SPiM, BioSPI)
- BioPEPA
- κ -calculus
- Brane-Calculus, BetaBinders, BlenX
- ...

BioPEPA

- na rozdíl od π -based kalkulů je BioPEPA orientovaný blíže SBML
- rozlišení není až na úroveň molekul, ale na úroveň substrátů a reakcí
⇒ proces není molekula, ale substrát
- výhodou je kompatibilita sémantik s SBML (srovnej s Petriho sítěmi)
- možnost plného modelování netriviální kinetiky (např. regulace, enzymová kinetika)

BioPEPA – příklad

$$\begin{aligned} S &= (\alpha, 2) \downarrow S \\ E &= (\alpha, 1) \oplus E \\ P &= (\alpha, 1) \uparrow P \end{aligned}$$

$$(S(I_{S_0}) \bowtie_\alpha (E(I_{E_0})) \bowtie_\alpha P(I_{P_0}))$$

Sémantika dynamiky je definována pravidlem $f_\alpha = \frac{v \cdot E \cdot S}{K + S^2}$.

*BioPEPA – syntax
Algebra modelových komponent*

$$S ::= (\alpha, k) \text{ op } S \mid S + S \mid C$$

$$\text{op} = \downarrow \mid \uparrow \mid \oplus \mid \ominus \mid \odot$$

$$P ::= P \bowtie_{\mathcal{L}} P \mid S(I)$$

- \mathcal{L} je množina reakcí
- I je iniciální podmínka

BioPEPA – syntax

Definice elementárních komponent – substráty

Každá komponenta C je charakterizována 5-ticí $\langle H, N, M_0, M, V \rangle$, kde:

- $H \in \mathbb{R}^+$ je rozlišení kvantity (velikost jedné “úrovně” koncentrace),
- $N \in \mathbb{N}$ je maximální hodnota kvantity,
- $M_0 \in \mathbb{R}^+ \cup \{-\}$ je iniciální koncentrace,
- $M \in \mathbb{R}^+ \cup \{-\}$ je maximální koncentrace,
- V označuje kompartment do něhož je komponenta přiřazena.

Pozn. (1): $-$ značí “nedefinovanou hodnotu”

Pozn. (2): M, M_0 jsou uvedeny pro kalibraci se spojitým modelem.

BioPEPA – syntax

Definice elementárních komponent – substráty

- diskretizace koncentrace pomocí úrovní stejné délky (v počtu molekul)
- diskrétní sémantika tedy umožňuje kalibraci se spojitou (aproximace)
- počet úrovní pro komponentu C_i je $N_i + 1$, kde N_i je max. úroveň
- platí: $N_j = \lceil \frac{M_j}{H} \rceil$
kde $M_j \leq M$, $0 \leq j < N$, reprezentuje hraniční koncentraci mezi leveley N_j , N_{j+1}
- pro aktuální úroveň $0 \leq l_j \leq N_j$ je koncentrace definována vztahem $x_j = l_j \cdot H$

BioPEPA – definice biologického procesu

BioPEPA systém je šestice $\langle \mathcal{V}, \mathcal{N}, \mathcal{K}, \mathcal{F}_R, Comp, P \rangle$ kde:

- \mathcal{V} ... množina kompartmentů,
- \mathcal{N} ... množina kvantit popisujících substráty,
- \mathcal{K} ... množina definic parametrů,
- \mathcal{F}_R ... množina definic dynamiky,
- $Comp$... definice komponent,
- P ... komponenta popisující systém.

BioPEPA – sémantika

- každá akce α má přiřazenu kinetickou funkci f_α nad kvantitami substrátů
- kvantity substrátů jsou určeny z kontextu akce α
- kinetické funkce mohou obsahovat kinetické parametry, které musí být asociovány v \mathcal{K}
- příklady typů kinetických funkcí:
 - $fMA(k) = k \cdot \prod_{i=1}^{n_j} (C_i)^{\kappa_i}$ kde n_j je počet reaktantů reakce α_j a κ_i je příslušný stechiometrický koeficient reaktantu C_i
 - $fH(v, K, n) = v \cdot C^n / (K + C^n)$ je Hillova kinetika

BioPEPA – operační sémantika

Předpokládáme \mathcal{C} spočetná množina zahrnující všechny možné modelové komponenty.

BioPEPA systém má asociovánu stochastickou sémantiku, která je definována prostřednictvím *odvozující relace* $\rightarrow_c \subseteq \mathcal{C} \times \Omega \times \mathcal{C}$, kde $\theta \in \Omega$ vyjadřuje kvantitativní informaci potřebnou k vyhodnocení kinetické funkce,

$$\theta := (\alpha, w)$$

kde $w := [S : op(I, \kappa)] \mid w@w, S \in \mathcal{C}, I$ hodnota kvantity komponenty S , κ stechiometrický koeficient komponenty S v α .

Relace \rightarrow_c je definována jako minimální relace splňující pravidla na následujícím sladu.

BioPEPA – odvozující relace

prefixReac	$((\alpha, \kappa) \downarrow S)(l) \xrightarrow{(\alpha, [S: \downarrow(l, \kappa)])}_c S(l - \kappa) \quad \kappa \leq l \leq N$
prefixProd	$((\alpha, \kappa) \uparrow S)(l) \xrightarrow{(\alpha, [S: \uparrow(l, \kappa)])}_c S(l + \kappa) \quad 0 \leq l \leq (N - \kappa)$
prefixMod	$((\alpha, \kappa) op S)(l) \xrightarrow{(\alpha, [S: op(l, \kappa)])}_c S(l) \quad \text{with } op = \odot, \oplus, \ominus \text{ and } 0 \leq l \leq N$
choice1	$\frac{S_1(l) \xrightarrow{(\alpha, w)}_c S'_1(l')} {(S_1 + S_2)(l) \xrightarrow{(\alpha, w)}_c S'_1(l')}$
choice2	$\frac{S_2(l) \xrightarrow{(\alpha, w)}_c S'_2(l')} {(S_1 + S_2)(l) \xrightarrow{(\alpha, w)}_c S'_2(l')}$
constant	$\frac{S(l) \xrightarrow{(\alpha, S': [op(l, \kappa)])}_c S'(l')} {C(l) \xrightarrow{(\alpha, C: [op(l, \kappa)])}_c S'(l')} \quad \text{with } C \stackrel{\text{def}}{=} S$
coop1	$\frac{P_1 \xrightarrow{(\alpha, w)}_c P'_1}{P_1 \bowtie_{\mathcal{L}} P_2 \xrightarrow{(\alpha, w)}_c P'_1 \bowtie_{\mathcal{L}} P_2} \quad \text{with } \alpha \notin \mathcal{L}$
coop2	$\frac{P_2 \xrightarrow{(\alpha, w)}_c P'_2}{P_1 \bowtie_{\mathcal{L}} P_2 \xrightarrow{(\alpha, w)}_c P_1 \bowtie_{\mathcal{L}} P'_2} \quad \text{with } \alpha \notin \mathcal{L}$
coop3	$\frac{P_1 \xrightarrow{(\alpha, w_1)}_c P'_1 \quad P_2 \xrightarrow{(\alpha, w_2)}_c P'_2}{P_1 \bowtie_{\mathcal{L}} P_2 \xrightarrow{(\alpha, w_1 @ w_2)}_c P'_1 \bowtie_{\mathcal{L}} P'_2} \quad \text{with } \alpha \in \mathcal{L}$

BioPEPA – stochastická sémantika

Stochastická sémantika BioPEPA systému je určena relací:

$$\rightarrow_s \subseteq \mathcal{P} \times \Gamma \times \mathcal{P}$$

kde $\gamma \in \Gamma$, $\gamma := (\alpha, r_\alpha)$, $r_\alpha \in \mathbb{R}^+$ určuje parametr exponenciální distribuce události v čase (rate).

Relace \rightarrow_s je definována pomocí pravidla:

$$\text{Final} \quad \frac{P \xrightarrow{(\alpha_j, w)}_c P'}{\langle \mathcal{V}, \mathcal{N}, \mathcal{K}, \mathcal{F}, Comp, P \rangle \xrightarrow{s}{(\alpha_j, r_\alpha[w, \mathcal{N}, \mathcal{K}])} \langle \mathcal{V}, \mathcal{N}, \mathcal{K}, \mathcal{F}, Comp, P' \rangle}$$

kde

$$r_\alpha[w, \mathcal{N}, \mathcal{K}] = \frac{f_\alpha[w, \mathcal{N}, \mathcal{K}]}{H}$$

- H je velikost kroku
- $f_\alpha[w, \mathcal{N}, \mathcal{K}]$ značí kin. funkci f_α vypočítanou v přísl. kontextu

BioPEPA – stochastická sémantika

Evaluace $f[w, \mathcal{N}, \mathcal{K}]$:

- pro každou komponentu C_i je odvozena koncentrace $I_i \cdot H$
- volný výskyt C_i je nahrazen $(I_i \times H)^{\kappa_{ij}}$, kde κ_{ij} je stechiometrický koeficient substrátu C_i v reakci R_j
- pozn.: pro $H = 1$ a vhodné omezení kinetických funkcí dostáváme přímou stochastickou sémantiku (relace \rightarrow_s definuje CTMC, který bychom získali interpretací stochastické Petriho sítě odpovídající BioPEPA systému)

BioPEPA – příklad

Uvažujme reakci $\alpha : 2X + Y \xrightarrow{k} 3Z$. Kinetika je definována funkcí $v = k \cdot X^2 \cdot Y$. Definujeme komponenty BioPEPA:

$$X \stackrel{\text{def}}{=} (\alpha, 2) \downarrow X \quad Y \stackrel{\text{def}}{=} (\alpha, 1) \downarrow Y \quad Z \stackrel{\text{def}}{=} (\alpha, 3) \uparrow Z$$

Reakční systém je definován:

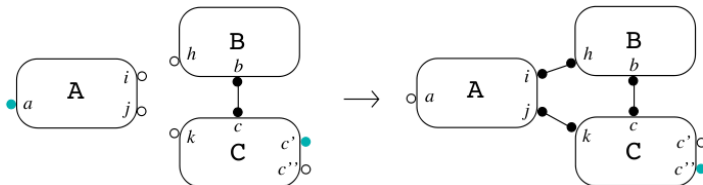
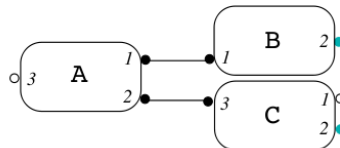
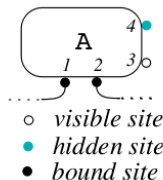
$$X(I_{X_0}) \bowtie_{\{\alpha\}} Y(I_{Y_0}) \bowtie_{\{\alpha\}} Z(I_{Z_0})$$

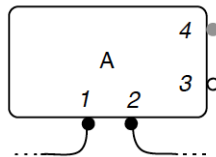
kde $I_{X_0}, I_{Y_0}, I_{Z_0}$ značí iniciální úrovně koncentrace, kin. funkce je definována $f_\alpha = fMA(k)$.

Pro reakci bude odvozením stochastické sémantiky vypočítán rate

$$r_\alpha = \frac{k \cdot (I_X \cdot H)^2 (I_Y \cdot H)}{H}$$

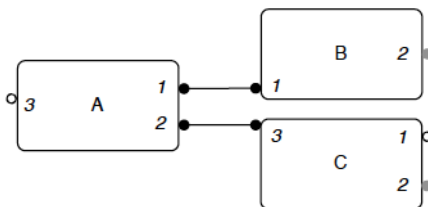
Reakce bude provedena pouze v situaci: N_X je nejméně 3, N_Z je nejméně 4.

κ -calculus

κ -calculus – vazebná místa

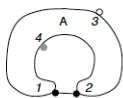
- 1,2 – navázaná vazebná místa
- 3 – skrytá vazebná místa
- 4 – viditelná vazebná místa

κ -calculus – interakce proteinů

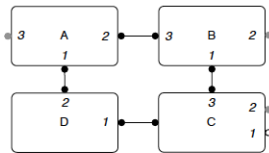


- proteiny mohou vytvářet **komplexy** spojováním na vazebných místech
- kolekce proteinů a jejich komplexů tvoří **roztok (solution)**

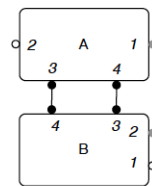
κ -calculus – příklady spojení



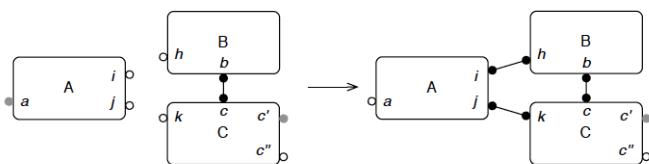
a self-
complexation

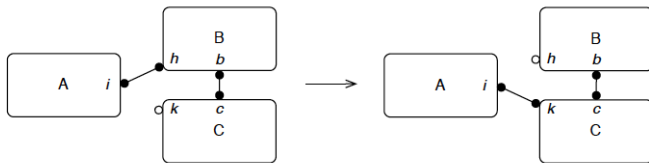


a ring-complex



a
double-contact

κ -calculus – komplexace

κ -calculus – požadavek monotonicity

NEPOVOLENÁ OPERACE, nesplňuje monotonicitu updatu vazeb

κ -calculus – syntax

- spočetná množina **jmen proteinů** \mathcal{P} , zn. $A, B, \dots \in \mathcal{P}$
- spočetná množina **jmen hran** \mathcal{E} , zn. $x, y, \dots \in \mathcal{E}$
- **signatura**, $\textstyle\int : \mathcal{P} \rightarrow \mathbb{N}$
 - $\int(A)$ zn. počet vazeb proteinu A
 - (A, i) značí *i-té vazebné místo* na A

κ -calculus – rozhraní

- lib. paricální zobrazení $\mathbb{N} \rightarrow \mathcal{E} \cup \{h, v\}$ nazýváme **rozhraní**,
zn. ρ, σ, \dots
- vazebné místo (A, i) nazýváme:
 - **viditelné**, pokud $\rho(i) = v$
 - **skryté**, pokud $\rho(i) = h$
 - **vázané**, pokud $\rho(i) \in \mathcal{E}$
- rozhraní reprezentuje **stav** roztoku

κ -calculus – příklad rozhraní

Předpokládejme A t.ž. $f(A) = 3$, pak $\rho(1) = v$, $\rho(2) = h$, $\rho(3) = x$ je rozhraní proteinu A , v němž místo 1 je viditelné, místo 2 skryté, a místo 3 vázané na jméno hrany $x \in \mathcal{E}$. Symbolicky píšeme:

$$\rho = 1 + \bar{2} + 3^x$$

κ -calculus – syntax roztoku $\mathcal{S} :=$ $0 \quad$ prázdný roztok $A(\rho) \quad$ protein $\mathcal{S}, \mathcal{S} \quad$ skupina $(\nu x)(\mathcal{S}) \quad$ vazba

Pro množinu jmen x_1, x_2, \dots, x_n používáme notaci \tilde{x} a vazbu rozšíříme na $(\nu \tilde{x})(\mathcal{S})$.

κ -calculus – syntax roztoku

- induktivně definujeme množinu **volných jmen** v roztoku \mathcal{S} , zn. $\text{fn}(\mathcal{S})$:

$$\begin{aligned}\text{fn}(0) &= \emptyset \\ \text{fn}(A(\rho)) &= \text{fn}(\rho) \\ \text{fn}(\mathcal{S}, \mathcal{S}') &= \text{fn}(\mathcal{S}) \cup \text{fn}(\mathcal{S}') \\ \text{fn}((\nu x)(\mathcal{S})) &= \text{fn}(\mathcal{S}) \setminus \{x\}\end{aligned}$$

- výskyt x v \mathcal{S} je *vázaný* pokud je zanořen pod operátorem νx
- roztok \mathcal{S} je *uzavřený* pokud všechny výskyty jmen v \mathcal{S} jsou vázané (zejména $\text{fn}(\mathcal{S}) = \emptyset$)

κ -calculus – strukturní kongruence

Definujeme relaci *strukturní kongruence*, zn. \equiv , jako nejmenší ekvivalenci uzavřenou syntakticky asociativní a komutativní operací seskupení “,”, α -ekvivalencí (injektivní přejmenování vázaných jmen) a 0 chápanou jako neutrální prvek, dále splňující pravidla:

1. $(\nu x)(\nu y)(\mathcal{S}) \equiv (\nu y)(\nu x)(\mathcal{S}),$
2. $(\nu x)(\mathcal{S} \equiv \mathcal{S}', \text{ pro } x \notin \text{fn}(\mathcal{S})),$
3. $(\nu x)(\mathcal{S}), \mathcal{S}' \equiv (\nu x)(\mathcal{S}, \mathcal{S}'), \text{ pro } x \notin \text{fn}(\mathcal{S}').$

Přejmenování

Přejmenování r je konečná parciální injekce na množině $\mathcal{E} \cup \{h, v\}$, která je identitou na $\{h, v\}$ a zobrazuje $\mathcal{E} \rightarrow \mathcal{E}$.

κ -calculus – propojenosť

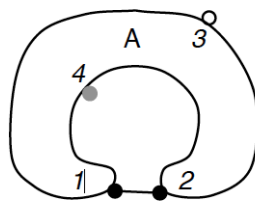
Definujeme **propojený** roztok strukturní indukcí:

- $A(\rho)$ je propojený,
- je-li \mathcal{S} propojený, pak i $(\nu x)(\mathcal{S})$ je propojený,
- jsou-li $\mathcal{S}, \mathcal{S}'$ propojené a $\text{fn}(\mathcal{S} \cap \mathcal{S}') \neq \emptyset$, pak $\mathcal{S}, \mathcal{S}'$ je propojený,
- je-li \mathcal{S} propojený a $\mathcal{S} \equiv \mathcal{T}$, pak \mathcal{T} je propojený.

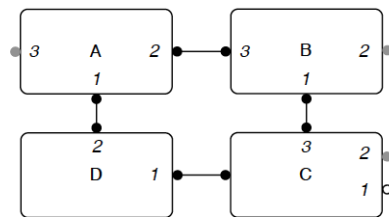
κ -calculus – vizuální omezenost

Roztok je **vizuálně omezený**, pokud:

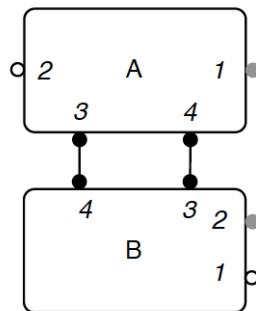
- výskyt lib. volného jména v \mathcal{S} je max. dvojnásobný
- vazba $(\nu x)(\mathcal{S})$ váže buď 0 nebo 2 výskyty x

κ -calculus – příklad

$$(\nu x)(A(1^x + 2^x + 3 + \bar{4}))$$

κ-calculus – příklad

$$(\nu wxyz)(A(1^x+2^x+3), B(1^z+\bar{2}+3^y), C(1+\bar{2}+3^z+4^w), D(1^w+2^x))$$

κ -calculus – příklad

$$(\nu xy)(A(\bar{1} + 2 + 3^x + 4^y), B(1 + \bar{2} + 3^y + 4^x))$$

κ -calculus – relace růstu

- cílem je omezit prostor možných interakcí (reakcí)
- nástrojem bude monotonost updatů vazeb
- formálně zachycena **relací růstu** \leq definovanou na parciálních rozhraních
- idea: $\rho \leq \rho'$ odpovídá situaci ρ' obsahuje více vazeb než ρ
- relace je parametrizována danou množinou jmen \tilde{x} reprezentující právě nové (přidané) hrany

κ -calculus – relace růstu

$$(\text{CREATE}): \frac{x \in \tilde{x}}{\tilde{x} \vdash i \leq i^x}$$

$$(\text{HV-SWITCH}): \frac{}{\tilde{x} \vdash \bar{i} \leq i}$$

$$(\text{VH-SWITCH}): \frac{}{\tilde{x} \vdash i \leq \bar{i}}$$

$$(\text{REFLEX}): \frac{\tilde{x} \cap \text{fn}(\rho) = \emptyset}{\tilde{x} \vdash \rho \leq \rho}$$

$$(\text{SUM}): \frac{\tilde{x} \vdash \rho \leq \rho' \quad \tilde{x} \vdash \sigma \leq \sigma'}{\tilde{x} \vdash \rho + \sigma \leq \rho' + \sigma'}$$

κ -calculus – relace růstu

- relace \leq definována pouze pro rozhraní
- rozšíříme na skupiny proteinů

Definice (Preprotein)

Pro libovolný protein A a parciální rozhraní ρ nazveme $A(\rho)$ **preproteinem**.

Definice (Preroztok)

Libovolnou skupinu preproteinů nazveme **preroztokem**.

κ -calculus – relace růstu (rozšíření na preroztoky)

$$(\text{NIL}): \frac{}{\tilde{x} \vdash 0 \leq 0} \quad (0 \text{ is the empty solution})$$

$$(\text{GROUP}): \frac{\tilde{x} \vdash \mathcal{S} \leq \mathcal{S}' \quad \tilde{x} \vdash \rho \leq \rho' \quad \text{dom}(\rho') \subseteq \mathfrak{s}(A)}{\tilde{x} \vdash \mathcal{S}, A(\rho) \leq \mathcal{S}', A(\rho')}$$

$$(\text{SYNTH}): \frac{\tilde{x} \vdash \mathcal{S} \leq \mathcal{S}' \quad \text{fn}(\rho) \subseteq \tilde{x} \quad \text{dom}(\rho) = \mathfrak{s}(A)}{\tilde{x} \vdash \mathcal{S} \leq \mathcal{S}', A(\rho)}$$

- interpretace $\tilde{x} \vdash \mathcal{S} \leq \mathcal{S}'$: nové vazby přidány (\mathcal{S}' zahrnuje více spojení)
- (SYNTH) povoluje vytváření nových proteinů s plnými rozhraními

κ -calculus – reakce

Nechť $\mathcal{S}, \mathcal{S}'$ jsou preroztoky.

monotonní reakce

$r_1 : \mathcal{S} \rightarrow (\nu \tilde{x})\mathcal{S}'$ je monotonní reakce pokud:

- $\tilde{x} \vdash \mathcal{S} \leq \mathcal{S}'$
- \mathcal{S} a $(\nu \tilde{x})\mathcal{S}'$ jsou vizuálně omezené
- \mathcal{S}' je propojený

antimonotonní reakce

$r_2 : (\nu \tilde{x})\mathcal{S} \rightarrow \mathcal{S}'$ je antimonotonní reakce pokud:

- reakce $\mathcal{S}' \rightarrow (\nu \tilde{x})\mathcal{S}$ je monotonní.